

02; 07

© 1990 г.

КИНЕТИЧЕСКАЯ МОДЕЛЬ РЕКОМБИНАЦИОННЫХ ЛАЗЕРОВ НА ПЕРЕХОДАХ АТОМА КСЕНОНА

II. ЛАЗЕРНЫЕ ХАРАКТЕРИСТИКИ

A. M. Воинов, С. П. Мельников, А. А. Синянский

На основе установленного механизма образования инверсной насыщенности построена модель, позволяющая определять характеристики рекомбинационных лазеров на переходах $5d - 6p$ атома Xe. Рассчитаны зависимости коэффициентов усиления и энергетических параметров от давления и состава смесей He—Xe ($\lambda=2.03$, 2.65 мкм) и Ar—Xe ($\lambda=1.73$ мкм), возбуждаемых осколками деления урана и электронными пучками. Результаты расчетов хорошо согласуются с экспериментальными данными.

Введение

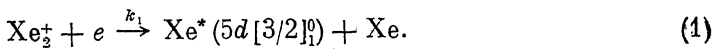
В нашей предыдущей работе [1] рассмотрен механизм генерации рекомбинационных ИК лазеров на переходах $5d - 6p$ атома Xe и выполнены расчеты параметров плазмы для экспериментальных условий [2–4], где приведены результаты исследований лазеров на смесях He—Xe, Ar—Xe с накачкой осколками деления урана. Ниже представлены результаты расчета лазерных характеристик.

Исходные данные и метод расчета

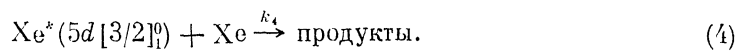
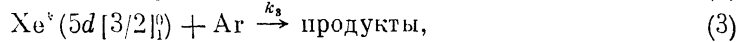
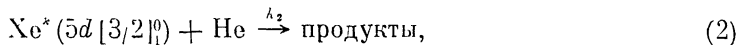
В [2–4] исследованы квазинепрерывные лазеры атмосферного давления на переходах атома Xe, возбуждаемые осколками деления урана. Эксперименты [2] выполнены с использованием цилиндрической лазерной кюветы с внутренним диаметром 27 мм и активной длиной 57 см, на внутреннюю поверхность которой нанесен слой окиси-закиси ^{235}U толщиной около 9 мг/см². Кювета облучалась импульсным потоком тепловых нейтронов с длительностью импульса на половине высоты 0.8 мс. В опытах [3, 4] применялась лазерная кювета с плоскими урановыми слоями длиной 200 см и расстоянием между ними 2 см. Длительность импульса тепловых нейтронов на половине высоты составляла около 4 мс. Энергия, поглощенная в газе, определялась с помощью измеренной в опытах плотности реакций деления и выполненных в [5] расчетов эффективности поглощения кинетической энергии осколков деления в различных газах.

Максимальные энергетические параметры получены при использовании смесей He—Xe и Ar—Xe, где гелий или аргон являются буферными газами, на переходах атома ксенона $5d[3/2]^0_1 - 6p[5/2]_2$ ($\lambda=1.73$ мкм), $5d[3/2]^0_1 - 6p[1/2]_2$ ($\lambda=2.65$ мкм) и $5d[5/2]^0_2 - 6p[5/2]_2$ ($\lambda=2.63$ мкм). В условиях [2] в максимуме импульса накачки удельная мощность накачки q при давлении гелия 2 атм или аргона 0.5 атм составляла $q=550$ Вт·см⁻³, а в [3, 4] $q=20$ Вт·см⁻³.

В [1] сделан вывод, что уровень $5d[3/2]^0_1$, который является верхним для генерационных линий 1.73 и 2.65 мкм, заселяется селективно в результате процесса диссоциативной рекомбинации



Уровень $5d[3/2]_1^0$ является резонансным. Радиационное время жизни этого уровня с учетом пленения резонансного излучения составляет 220 нс [6,7]. Реальное время жизни будет существенно меньше из-за процессов столкновительного тушения



По нашим оценкам $k_2 = k_3 = 1 \cdot 10^{-12} \text{ см}^{-3} \cdot \text{с}^{-1}$, $k_4 = 1 \cdot 10^{-9} \text{ см}^3 \cdot \text{с}^{-1}$ ($\pm 50\%$).

Оценка k_4 на основании данных работы [8] дает примерно такой же результат.

Радиационные времена жизни нижних лазерных уровней $bp[1/2]_0$ и $bp[5/2]_2$ равняются соответственно 22 и 33 нс [6]. Константы скоростей процессов столкновительного тушения уровня $bp[1/2]_0$ атомами Ar и Xe в основном состоянии соответственно равняются $1.4 \cdot 10^{-10}$ и $5.8 \cdot 10^{-12} \text{ см}^3 \cdot \text{с}^{-1}$, а уровня $bp[5/2]_2$ — $8.2 \cdot 10^{-11}$ и $9.6 \cdot 10^{-11} \text{ см}^3 \cdot \text{с}^{-1}$ [9].

Формулы для расчета плотности мощности I на выходе резонатора и параметра насыщения I_s можно получить из решения системы кинетических уравнений в стационарном режиме, учитывающей баланс скоростей заселения и релаксации лазерных уровней в режиме генерации,

$$I = I_s \left(\alpha_0 l - \rho l - \ln \sqrt{\frac{1}{r_1 \cdot r_2}} \right) \frac{\ln \sqrt{\frac{1}{r_1 \cdot r_2}}}{\rho l + \ln \sqrt{\frac{1}{r_1 \cdot r_2}}}, \quad (5)$$

$$I_s = \frac{4\pi^2 h c \Delta \nu_e}{\lambda_{ji}^3 A_{ji} \left(\tau_j + \tau_i \frac{g_j}{g_i} - A_{ji} \tau_j \tau_i \frac{g_j}{g_i} \right)}, \quad (6)$$

где ρ — коэффициент вредных потерь в резонаторе; r_1 , r_2 — коэффициенты отражения зеркал резонатора; l — активная длина резонатора; h — постоянная Планка; c — скорость света; $\Delta \nu_e$ — столкновительная полуширина линии генерации; A_{ji} — вероятность спонтанного распада; λ_{ji} — длина волны генерации τ_j , τ_i — времена жизни верхнего и нижнего лазерных уровней с учетом столкновительного тушения; g_j , g_i — статистические веса уровней; α_0 — начальный коэффициент усиления

$$\alpha_0 = \frac{\lambda_{ji}^2}{4\pi^2} \frac{A_{ji}}{\Delta \nu_e} R_j \tau_j \left(1 - A_{ji} \tau_i \frac{g_j}{g_i} \right) \quad (7)$$

(R_j — скорость заселения верхнего лазерного уровня).

Для переходов с $\lambda = 1.73$ и 2.65 мкм вероятности спонтанного распада равняются соответственно $3.04 \cdot 10^5$ и $1.27 \cdot 10^6 \text{ с}^{-1}$ [6], поэтому в формулах (6), (7) членами, содержащими A_{ji} , можно пренебречь.

В том случае, когда начальный коэффициент усиления значительно превышает потери в резонаторе, из выражений (5)–(7) можно получить простую формулу для удельной мощности генерации

$$\frac{I}{l} = h \nu_{ji} R_j \frac{\tau_j}{\tau_j + \tau_i \frac{g_j}{g_i}}, \quad (8)$$

где $h \nu_{ji}$ — энергия лазерного кванта.

При невысоких парциальных давлениях ксенона ($p_{Xe} < 10$ мм рт. ст.) выполняется условие $\tau_i \ll \tau_j$ и последний сомножитель в (8) близок к единице. В этом случае удельная мощность генерации не зависит от многих характеристик лазерного перехода ($\Delta \nu_e$, A_{ji} , τ_j , τ_i), которые вносят заметную неопределенность в результаты расчетов.

Экспериментальные данные относительно $\Delta \nu_e$ для линий 1.73 и 2.65 мкм нам неизвестны. Для линии 3.51 мкм, также принадлежащей группе переходов

$5d - 6p$, при соударениях с атомами гелия $\Delta v_c = 1.4 \cdot 10^{10} \text{ с}^{-1} \cdot \text{атм}^{-1}$ [10]. Столкновительную ширину линии можно приближенно вычислить из газокинетической теории. При столкновительном уширении $\Delta v_c = 1/2\pi\tau_c$, где τ_c — промежуток времени между соударениями атома Хе с атомами буферного газа. Выражая τ_c через среднюю длину свободного пробега атомов Хе [11] и относительную скорость атомов, имеем

$$\Delta v_c = \frac{N(d_N + d_{Xe})^2(M_N + M_{Xe})}{4\pi M_N} \sqrt{\frac{2\pi k T_r}{M_{Xe}}}, \quad (9)$$

где N — концентрация атомов буферного газа; d_N , d_{Xe} и M_N , M_{Xe} — диаметры [11] и массы атомов буферного газа и ксенона; k — постоянная Больцмана.

При температуре газа $T_r = 300$ К величины Δv_c для смесей Не—Хе и Ar—Хе соответственно равняются $1.2 \cdot 10^{10}$ и $1.9 \cdot 10^9 \text{ с}^{-1} \cdot \text{атм}^{-1}$. Как правило, для вы-

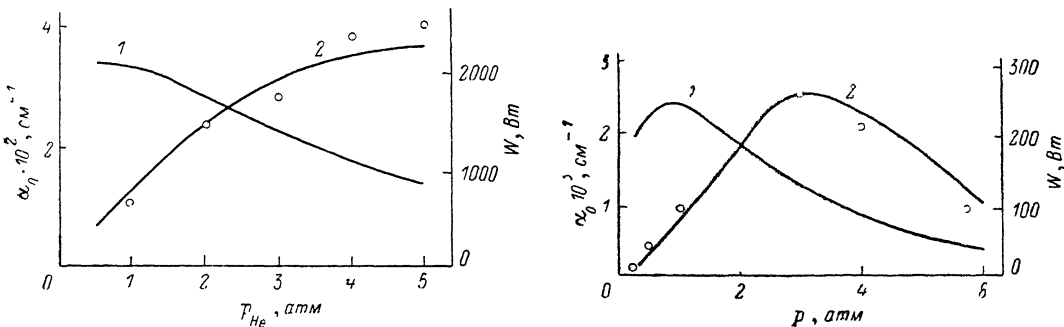


Рис. 1. Зависимости α_0 (1) и W (2) от давления гелия для лазера на смеси Не—Хе ($\lambda = 2.65$ мкм) при $p_{Xe} = 3$ мм рт. ст.

Кривые — расчет; точки — экспериментальные данные [2], нормированные к расчетам при $p_{He} = 2$ атм.

Рис. 2. Зависимости α_0 (1) и W (2) от давления смеси Не—Хе (1000 : 1) ($\lambda = 2.65$ мкм).

Кривые — расчет; точки — результаты опытов [3], нормированные к расчетным при $p = 3$ атм.

числения Δv_c используют другие формулы, связывающие Δv_c с константами вандерваальсовского взаимодействия (см., например, [12]). Однако расчеты по этим формулам дают в случае атома Хе примерно на порядок величины завышенные значения Δv_c по сравнению с известными экспериментальными данными [10].

Результаты и их обсуждение

Расчет начальных коэффициентов усиления α_0 и мощностей генерации $W = I \cdot s$, где s — площадь поперечного сечения области накачки, выполнены для лазеров на смесях Не—Хе ($\lambda = 2.65$ мкм) [2, 3] и Ar—Хе ($\lambda = 1.73$ мкм) [4]. В расчетах предполагалось $R_j = R_1$, где $R_1 = k_1[Xe^+]n_e$ — скорость образования возбужденных атомов Xe^+ за счет процесса (1), которая вычислена в нашей предыдущей работе [1]. В экспериментальных условиях [2–4] вредные потери в резонаторе вызваны в основном развитием оптических неоднородностей в газовой среде из-за неоднородного распределения энерговклада по сечению кюветы и последующих термогазодинамических возмущений. Оценки показывают, что для смеси Не—Хе величина $\rho \sim 10^{-4} \text{ см}^{-1} \ll \alpha_0$, поэтому в расчетах принималось $\rho = 0$. Для смеси Ar—Хе также принималось $\rho = 0$, хотя при давлениях аргона выше 0.5 атм потери могут быть существенными.

Результаты расчета α_0 и W в максимуме импульса накачки для лазера на смеси Не—Хе ($\lambda = 2.65$ мкм) [2] приведены на рис. 1. Максимальные значения мощности генерации $2 \cdot 10^3$ Вт и КПД 0.6 % зарегистрированы в [2] при $p_{He} = 5$ атм, $p_{Xe} = 3$ мм рт. ст. и $r_1 \cdot r_2 = 0.77$. Для этих условий расчетное значение W больше экспериментального на 15 %. Мощность генерации увеличивается с ро-

стом давления гелия, что объясняется соответствующим увеличением скорости R_1 (см. рис. 1, б в [1]).

Снижение α_0 при увеличении давления вызвано уменьшением τ_j в результате столкновительного тушения верхнего лазерного уровня и ростом $\Delta\nu_e$.

На рис. 2 показаны зависимости α_0 и W для смеси Не—Хе ($\lambda=2.65$ мкм) [3] при более низких удельных мощностях накачки. Расчетное значение W при давлении смеси 3 атм меньше экспериментального на 13 %. Из расчетов следует, что максимальная мощность генерации достигается при $p=3$ атм, а максимальное значение α_0 (минимальный порог генерации) — при $p=1$ атм, что согласуется с результатами опытов. В экспериментах [3] исследована зависимость мощности и порога генерации от коэффициентов отражения зеркал резонатора для смеси Не—Хе (1000 : 1), $p=1$ атм. Порог генерации в максимуме импульса накачки достигался при $r_1 \cdot r_2 = 0.4$, откуда следует $\alpha_0 = 2.3 \cdot 10^{-3}$ см⁻¹. Расчет по данной модели дает близкое значение $\alpha_0 = 2.8 \cdot 10^{-3}$ см⁻¹.

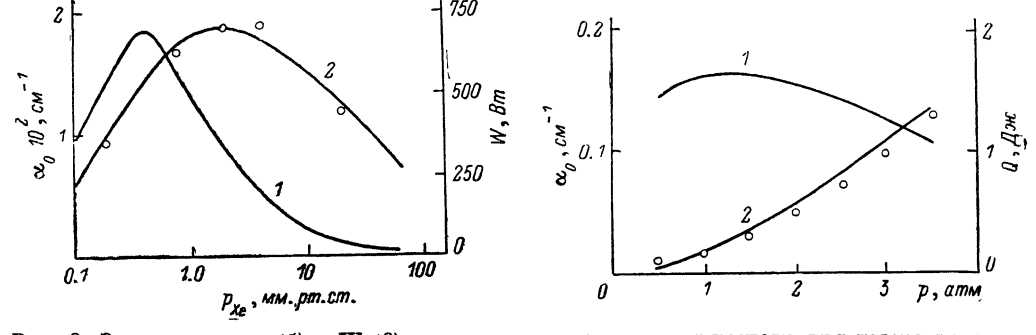


Рис. 3. Зависимости α_0 (1) и W (2) от парциального давления ксенона для лазера на смеси Ar—Хе ($\lambda=1.73$ мкм) при $p=0.5$ атм.

Кривые — расчет; точки — результаты опытов [4], нормированные к расчетным при $p_{Xe} = 2$ мм рт. ст.

Рис. 4. Зависимости α_0 (1) и энергии генерации Q (2) от давления смеси Не—Хе (75 : 1) ($\lambda=2.03$ мкм).

Кривые — расчет, точки — экспериментальные данные [1^б].

С ростом концентрации ксенона мощность генерации в смеси Ar—Хе ($\lambda=1.73$ мкм) [4] сначала повышается (рис. 3), что объясняется ростом R_1 (см. рис. 3, б в [1]). Снижение W при высоких концентрациях ксенона вызвано существенным уменьшением α_0 . Максимальная расчетная мощность генерации 700 Вт превышает экспериментальное значение в 1.4 раза, что связано, по-видимому, с наличием заметных вредных потерь в резонаторе.

В лазере на смеси Не—Хе передача энергии от гелия атомам ксенона происходит при участии как ионов Не⁺, так и возбужденных атомов Не* [1]. Поэтому предельный или квантовый КПД ($\eta_{\text{кв}}$) можно определить следующим образом: $\eta_{\text{кв}} = (1 + \chi) h\nu_{j,i}/\omega_{\text{He}}$, где $\omega_{\text{He}} = 45$ эВ — энергия образования пары ион—электрон в гелии, $\chi = f^*/f^+ = 0.53$ [1^з] — отношение скоростей образования возбужденных атомов и ионов гелия ($f^+ = q/\omega_{\text{He}}$). В смеси Ar—Хе в заселении уровней 5d атома Хе участвуют лишь ионы аргона [1], поэтому $\eta_{\text{кв}} = h\nu_{j,i}/\omega_{\text{Ar}}$ ($\omega_{\text{Ar}} = 29$ эВ). Для лазеров на смесях Не—Хе ($\lambda=2.65$ мкм) и Ar—Хе ($\lambda=1.73$ мкм), возбуждаемых осколками деления урана, $\eta_{\text{кв}}$ соответственно равняется 1.6 и 2.5 %.

Рассмотренное понятие квантового КПД применимо для одно- и много-компонентных лазерных сред, когда под действием высоконергетичных заряженных частиц первоначально образуются ионы и возбужденные атомы с высокой потенциальной энергией, а генерация происходит на расположенных ниже переходах за счет процессов передачи возбуждения. В отличие от газоразрядных лазеров, работающих в фазе протекания тока, в данном случае $\eta_{\text{кв}}$ не зависит от расположения верхнего лазерного уровня относительно основного состояния.

Реальный КПД (η_x) можно вычислить, выражая η_x через $\eta_{\text{кв}}$,

$$\eta_x = \psi \xi \frac{R_j}{q} h v_{ji}, \quad (10)$$

где $\psi = I/I_m$ — коэффициент, учитывающий наличие вредных потерь в резонаторе (I_m — плотность мощности при $p=0$); $\xi = I/I_0$ — коэффициент, учитывающий снижение η_x за счет процессов столкновительного тушения верхнего лазерного уровня (I_0 — плотность мощности при условии $k_2=k_3=k_4=0$).

Для проверки справедливости основных положений данной кинетической модели при более высоких удельных мощностях накачки нами были выполнены расчеты характеристик лазеров на смесях He—Xe ($\lambda=2.03$ мкм) и Ar—Xe ($\lambda=1.73$ мкм) [14, 15], возбуждаемых электронным пучком. Удельная мощность накачки, вычисленная из приведенных в [14, 15] величин КПД и энергии генерации, линейно возрастает с увеличением давления. В диапазоне 0.5—3.5 атм

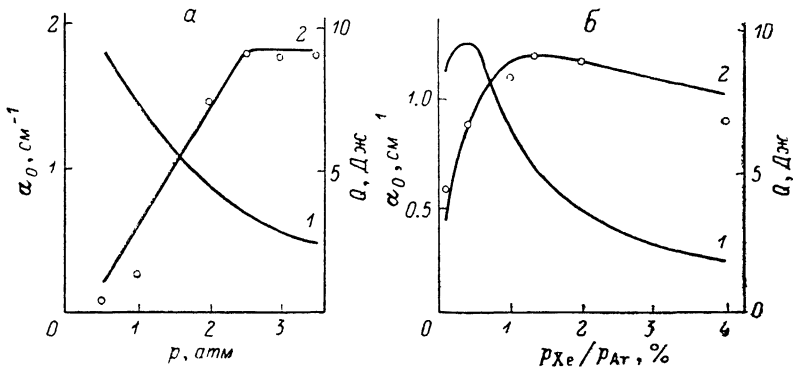


Рис. 5. Зависимости α_0 (1) и энергии генерации Q (2) от давления смеси Ar—Xe (75 : 1) (а), от состава смеси Ar—Xe при $p=2.5$ атм (б).

Кривые — расчет; точки — результаты опытов [14, 15], нормированные к расчетным при $p=2.5$ атм (а) и $p_{\text{Xe}}/p_{\text{Ar}}=1.3\%$ (б).

удельная мощность $q=1.6 \cdot 10^3$ — $1.1 \cdot 10^4$ Вт·см $^{-3}$ для смеси He—Xe и $q=1.2 \times 10^4$ — $8.7 \cdot 10^4$ Вт·см $^{-3}$ для смеси Ar—Xe. При вычислении параметров плазмы использовалась та же расчетная модель, что и для рассмотренных выше лазеров.

В лазере на смеси He—Xe ($\lambda=2.03$ мкм) энергия генерации Q увеличивается с ростом давления (рис. 4), что объясняется соответствующим увеличением скорости R_1 . Расчетная и экспериментальная зависимость энергии генерации от давления смеси практически совпадают.

Для лазера на смеси Ar—Xe ($\lambda=1.73$ мкм) наблюдается рост энергии генерации до давления 2.5 атм (рис. 5, а), что также связано с увеличением скорости R_1 . При $p=2.5$ атм длина пробега электронов становится равной попе-

Сравнение расчетных (W_p , η_x^p) и экспериментальных (W_x , η_x^p) энергетических параметров лазеров на смесях He—Xe, Ar—Xe

Смесь	λ , мкм	Давление, атм	W_p , Вт	η_x^p , %	W_x , Вт	η_x^p , %	Способ накачки
He—Xe (1300 : 1)	2.65	5	2000	0.6	2300	0.65	Осколки деления урана [2]
He—Xe (1000 : 1)	2.65	3	300	1.5	260	1.2	Осколки деления урана [3]
Ar—Xe (200 : 1)	1.73	0.5	500	2.2	700	2.5	Осколки деления урана [4]
He—Xe (75 : 1)	2.03	3.5	$1.9 \cdot 10^6$	—	$2.1 \cdot 10^6$	2.1	Электронный пучок [5]
Ar—Xe (75 : 1)	1.73	2.5	$8.3 \cdot 10^6$	1.5	$1.3 \cdot 10^7$	2.5	Электронный пучок [14, 15]

Примечание. Для лазеров, возбуждаемых электронным пучком длительность генерации принималась равной 0.7 мкс [14, 15].

речному размеру активного объема [15]. Дальнейшее увеличение давления приводит к уменьшению области накачки, поэтому при $p > 2.5$ атм энергия генерации примерно постоянна. Максимальное экспериментальное значение $Q = 5.8$ Дж меньше расчетного в 1.6 раз. С ростом концентрации ксенона энергия генерации сначала повышается (рис. 5, б), что объясняется увеличением скорости R_1 . Снижение Q при высоких концентрациях ксенона связано с тем, что с ростом p_{He} времена жизни лазерных уровней сравниваются по величине, последний сомножитель в (8) становится меньше единицы.

В таблице дано сопоставление расчетных и экспериментальных мощностей генерации и КПД для всех рассмотренных в данной работе лазеров в оптимальных по давлению и составу смесей режимах. Экспериментальные значения мощностей генерации для лазеров на смеси Ar—Xe в 1.4—1.6 раз ниже расчетных, так как в расчетах не учитывались вредные потери в резонаторе и предполагалось, что излучает вся область накачки.

Заключение

Приведенные в [1] и настоящей работе результаты анализа кинетики плазменных процессов и расчетные данные позволили выяснить особенности механизмов генерации рекомбинационных ИК лазеров на смесях He—Xe, Ar—Xe.

1. Заселение верхнего лазерного уровня $5d[3/2]^0_1$ атома Xe происходит селективно с эффективностью, близкой к 100 %, за счет процесса диссоциативной рекомбинации молекулярных ионов Xe_2^+ с электронами.

2. В лазере на смеси He—Xe в заселении уровней $5d$ участвуют ионы и возбужденные атомы гелия, а на смеси Ar—Xe — лишь ионы аргона.

3. Основными каналами потерь для смеси He—Xe являются процессы ударно-радиационной ($\text{Xe}^+ + e^- \rightarrow \text{Xe}^* + e^-$) и тройной ($\text{Xe}^+ + e^- + \text{He} \rightarrow \text{Xe}^* + e^- + \text{He}$) рекомбинации, а для смеси Ar—Xe — диссоциативная рекомбинация ионов Ar_2^+ с электронами.

4. Одной из основных причин снижения энергетических параметров при увеличении парциальных давлений компонент смесей является столкновительное тушение атомов $\text{Xe}^*(5d[3/2]^0_1)$ атомами He, Ar, Xe в основном состоянии.

Результаты расчетов мощностей генерации, КПД, коэффициентов усиления, оптимальных давлений компонент смесей хорошо согласуются с экспериментальными данными для лазеров на смесях He—Xe ($\lambda = 2.03, 2.65$ мкм) и Ar—Xe ($\lambda = 1.73$ мкм), возбуждаемых осколками деления урана [2–4] и электронными пучками [14, 15] при удельных мощностях накачки от ~ 1 до $\sim 10^5$ Вт·см $^{-3}$.

Принципиальное отличие данной модели от других моделей¹ (см., например, [14–16]) заключается в механизме заселения верхних лазерных уровней $5d$. В указанных работах предполагалось, что процесс (1) является каналом потерь, заселяющим нижние лазерные уровни $6p$, а заселение уровней $5d$ происходит за счет диссоциативной рекомбинации гетероядерных ионов типа ArXe^+ [14, 15] или ударно-радиационной рекомбинации [16].

Представленная в данной работе кинетическая модель позволяет при сравнительно небольшом количестве включенных в нее плазменных процессов удачливым образом описать работу лазеров, возбуждаемых ядерными излучениями и электронными пучками, в широком диапазоне экспериментальных условий. Основные положения модели применимы также для лазеров на переходах $5d - 6p$ атома Xe с другими способами накачки: ионные пучки, послесвечение газового разряда, разлетающиеся плазменные струи. Следует также отметить, что аналогичными или близкими механизмами генерации обладают рекомбинационные лазеры на переходах $3d - 4p$ и $4d - 5p$ соответственно атомов Ar и Kr.

Авторы выражают благодарность И. В. Подмошенскому и А. Н. Старостину за полезные обсуждения.

¹ В недавно опубликованных работах [17, 18] предлагаются модели лазера на смеси Ar—Xe, основанные на качественно иных механизмах заселения уровня $5d [3/2]^0_1$. Из-за отсутствия сравнения расчетных данных с экспериментальными трудно сделать вывод о справедливости этих моделей.

Список литературы

- [1] Воинов А. М., Мельников С. П., Синянский А. А. // ЖТФ. 1990. Т. 60. Вып. 10. С. 000.
- [2] Воинов А. М., Довбыш Л. Е., Криконосов В. Н. и др. // Письма в ЖТФ. 1979. Т. 5. Вып. 7. С. 422—424.
- [3] Воинов А. М., Довбыш Л. Е., Криконосов В. Н. и др. // ДАН СССР. 1979. Т. 245. № 1. С. 80—83.
- [4] Воинов А. М., Довбыш Л. Е., Криконосов В. Н. и др. // Письма в ЖТФ. 1981. Т. 7. Вып. 16. С. 1016—1020.
- [5] Казаян В. Т., Литвиненко Б. А., Рогинец Л. П., Сагуцкин И. А. Физические основы использования кинетической энергии осколков деления в радиационной химии. Минск: Наука и техника, 1972. 246 с.
- [6] Almar M., Coulomb M. // Atom. Data Nucl. Data Tables. 1978. Vol. 21. N 6. P. 537—566.
- [7] Wieme W., Mortier P. // Physica. 1973. Vol. 65. N 1. P. 198—202.
- [8] Davis C. C., King T. A. // J. Quant. Spectr. Rad. Transfer. 1973. Vol. 13. N 9. P. 825—835.
- [9] Ku J. K., Setser D. W. // J. Chem. Phys. 1986. Vol. 84. N 8. P. 4304—4316.
- [10] Smith P. W., Maloney P. J. // Appl. Phys. Lett. 1973. Vol. 22. N 12. P. 667—669.
- [11] Мак-Даниэль И. Процессы столкновений в ионизованных газах. М.: Мир, 1967. 832 с.
- [12] Заровняев Г. В., Хагаев А. Д. // Опт. и спектр. 1983. Т. 54. Вып. 4. С. 582—584.
- [13] Rees D. B., Leffert C. B., Rose D. J. // J. Appl. Phys. 1969. Vol. 40. N 4. P. 1884—1896.
- [14] Basov N. G., Chugunov A. Yu., Danilychev V. A. et al. // IEEE J. Quant. Electr. 1983. Vol. QE-19. N 2. P. 126—128.
- [15] Басов Н. Г., Данилычев В. А., Дудин А. Ю. и др. // Квантовая электрон. 1984. Т. 11. № 9. С. 1722—1736.
- [16] Диз Э. Дж., Хассан Х. А. // Ракетная техника и космонавтика. 1978. Т. 16. Вып. 10. С. 9—14.
- [17] Клоповский К. С., Лукьянова А. В., Рахимов А. Т. и др. // Квантовая электрон. 1989. Т. 16. № 2. С. 205—211.
- [18] Moratz T. J., Kushner M. J. // Bull. Am. Phys. Soc. 1989. Vol. 4. N 2. P. 304.

Поступило в Редакцию
24 ноября 1989 г.